

УДК 531.396

О возможности формирования автоколебаний перевернутого двухзвенного маятника с подвижной точкой опоры

Александров В.В.*, Сидоренко Г.Ю.**

*Московский государственный университет имени М.В. Ломоносова,
Ленинские горы, 1, Москва, 119991, Россия*

**e-mail: vladimiralexandrov366@hotmail.com*

***e-mail: gingrul@yandex.ru*

Аннотация

Рассматривается движение перевернутого двухзвенного маятника с подвижной точкой опоры и ограниченными ресурсами по возмущению. Путем анализа задачи о максимальном отклонении центра масс маятника, обосновывается выбор ускорения нижнего подвижного основания в виде кусочно-постоянной функции от угловой скорости. Посредством построения точечного отображения на секущей плоскости в четырехмерном пространстве в системе четвертого порядка построен орбитально-устойчивый предельный цикл, которому соответствуют автоколебания. Полученный алгоритм движения нижнего основания маятника может быть использован в качестве тестирующего движения имитационного стенда для тестирования вестибулярных протезов.

Ключевые слова: перевернутый маятник, автоколебания, предельный цикл, наихудшие возмущения, вестибулярный протез

1. Введение.

Ранее был рассмотрен перевернутый однозвенный маятник, установленный на тележке с помощью мотора постоянного тока [1]. Было показано, что при внешнем ускорении тележки $\delta_1 \text{sign}(\dot{\varphi})$ удастся организовать автоколебания маятника, которым соответствует асимптотически орбитально устойчивый предельный цикл. Данное возмущение является наилучшим, т.е. доставляет максимальный размах колебаний по углу φ на каждом полупериоде. При действии этого возмущения автоколебания имеют место как в редуцированной системе второго порядка, так и в исходной системе третьего порядка с малым параметром [1,2].

Полученный алгоритм был предложен в качестве тестирующего движения имитационного динамического стенда для тестирования вестибулярных протезов [3,4].

В данной статье полученный алгоритм расширен на случай маятника с двумя степенями свободы, а именно показано, что при выборе ускорения нижнего основания в виде кусочно-постоянной функции от угловой скорости в системе четвертого порядка возможно организовать автоколебания.

2. Рассмотрим перевернутый двухзвенный маятник, установленный на подвижном основании с помощью мотора постоянного тока (Рис.1). Звенья маятника однородные и имеют массы m_1, m_2 и длины $OB = l_1, BD = l_2$, соответственно. В узле маятника установлен электромотор массы m_m^1 , на верхнем

звене маятника расположена платформа массы m_{pl} . Тележка может перемещаться в сагиттальной плоскости с ограниченным ускорением $A(t)$.

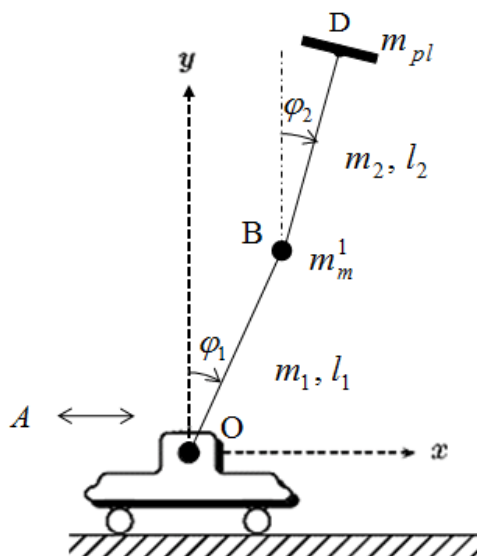


Рис.1. Перевернутый двухзвенный маятник на тележке.

Считая для простоты, что моторы идеальные, то есть их индуктивность мала, и, что параметры нижнего и верхнего моторов одинаковы, будем строить управление в виде обратной связи по показаниям потенциометров, считая их точными. Тогда уравнения движения перевернутого маятника вблизи положения равновесия примут вид:

$$A\ddot{\bar{\varphi}} + B\dot{\bar{\varphi}} - (K + G)\bar{\varphi} = A(t) \cdot A_m \quad (1)$$

где $A(\cdot) \in \hat{A} = \{ \|A(t)\| \leq \delta_1, \delta_1 > 0 \}$.

Здесь $\bar{\varphi}^T = [\varphi_1 \quad \varphi_2]$ – вектор состояния системы, отвечающий углам между звеньями и вертикалью (Рис.1),

$$A = \begin{bmatrix} l_1^2 \left(\frac{m_1}{3} + m_2 + m_m^1 + m_{pl} \right) & l_1 l_2 \left(\frac{m_2}{2} + m_{pl} \right) \\ l_1 l_2 \left(\frac{m_2}{2} + m_{pl} \right) & l_2^2 \left(\frac{m_2}{3} + m_{pl} \right) \end{bmatrix} - \text{симметричная матрица кинетической}$$

энергии,

$$G = g \begin{bmatrix} l_1 \left[\frac{m_1}{2} + m_2 + m_m^1 + m_{pl} \right] & 0 \\ 0 & l_2 \left[\frac{m_2}{2} + m_{pl} \right] \end{bmatrix} - \text{симметричная матрица потенциальной}$$

энергии силы тяжести,

$$B = \frac{c_m C}{R} \begin{bmatrix} 2 & -1 \\ -1 & 1 \end{bmatrix} - \text{симметричная матрица диссипативных сил,}$$

$$K = \frac{c_m}{R} \begin{bmatrix} K_{11} + K_{22} & -K_{22} \\ -K_{22} & K_{22} \end{bmatrix} - \text{матрица коэффициентов обратной связи моторов,}$$

$$A_m = \begin{bmatrix} l_1 \left(\frac{m_1}{2} + m_2 + m_m^1 + m_{pl} \right) \\ l_2 \left(\frac{m_2}{2} + m_{pl} \right) \end{bmatrix} - \text{вектор возмущающих сил инерции,}$$

R – омическое сопротивление мотора,

C – коэффициент противоЭДС,

c_m – коэффициент пропорциональности между активным электромагнитным

моментом мотора и током в цепи якоря.

Наличие матрицы K позволяет обеспечить колебательный характер поведения системы. Добавление сил диссипации $B\dot{\varphi}$ обеспечивает асимптотическую устойчивость нулевого положения равновесия $\bar{\varphi} = 0$. Таким

образом, система (1) является колебательной, а ее нулевое положение равновесия – асимптотически устойчивым.

В качестве функционала, характеризующего поведение системы, рассмотрим отклонение центра масс маятника от положения равновесия в проекции на ось x , жестко связанную с подвижной тележкой:

$$J = \frac{l_1 \left(\frac{m_1}{2} + m_m^1 + m_2 + m_{pl} \right)}{m_1 + m_m^1 + m_2 + m_{pl}} \varphi_1 + \frac{l_2 \left(\frac{m_2}{2} + m_{pl} \right)}{m_1 + m_m^1 + m_2 + m_{pl}} \varphi_2. \quad (2)$$

В рассматриваемом классе возмущений $|A(t)| \leq \delta_1$ попытаемся найти наихудшее, доставляющее максимальный размах колебаний центра масс на каждом полупериоде.

Перепишем систему (1) в новых координатах, которые являются нормальными для соответствующей ей консервативной системы:

$$\begin{cases} \ddot{x}_2 + \omega_2^2 x_2 + b_{22} \dot{x}_2 + b_{12} \dot{x}_1 = s_2 A(t) \\ \ddot{x}_1 + \omega_1^2 x_1 + b_{11} \dot{x}_1 + b_{12} \dot{x}_2 = s_1 A(t) \end{cases}. \quad (3)$$

Заметим, что при проделанной замене функционал J (2) с точностью до коэффициента $(m_1 + m_m^1 + m_2 + m_{pl})^{-1}$ перешел в $\tilde{J} = s_2 x_2 + s_1 x_1$.

Далее ограничимся рассмотрением более узкого подкласса систем четвертого порядка (3) под воздействием внешнего возмущающего воздействия при следующих предположениях:

а) коэффициент перевязки b_{12} мал так, что характеристические корни системы (3) и системы

$$\begin{cases} \ddot{x}_2 + \omega_2^2 x_2 + b_{22} \dot{x}_2 = s_2 A(t) \\ \ddot{x}_1 + \omega_1^2 x_1 + b_{11} \dot{x}_1 = s_1 A(t) \end{cases} \quad (4)$$

отличаются незначительно.

б) оба уравнения системы (4) имеют колебательный характер, причем собственные частоты системы являются кратными, то есть существует такое

$k \in N, k > 1$, что $\omega_{22} = k\omega_{11}$, где $\omega_{11}^2 = \omega_1^2 - \rho_1^2$, $\omega_{22}^2 = \omega_2^2 - \rho_2^2$, $\rho_1 = \frac{b_{11}}{2}$, $\rho_2 = \frac{b_{22}}{2}$.

в) $s_1 > 0$, $|s_1/s_2| > 1$, $\rho_2 > \rho_1$.

3. Для системы (3) при выполнении предположений а)-в) поставим задачу о максимальном отклонении:

$$\begin{cases} \ddot{x}_2 + \omega_2^2 x_2 + 2\rho_2 \dot{x}_2 = s_2 v(t) \\ \ddot{x}_1 + \omega_1^2 x_1 + 2\rho_1 \dot{x}_1 = s_1 v(t) \end{cases}, \quad v(\cdot) \in V = \{ |v(t)| \leq \delta_1, \delta_1 > 0 \}$$

$$x_1(0) = \alpha_0, \quad x_2(0) = \beta_0, \quad \dot{x}_1(0) = 0, \quad \dot{x}_2(0) = 0$$

$$\tilde{J} = s_2 x_2(T) + s_1 x_1(T) \longrightarrow \min_{-\delta_1 \leq v(t) \leq \delta_1} \quad (5)$$

$$M = \{ \dot{\bar{x}}(T) = 0 \}, \quad T : \dot{\bar{x}}(t) \neq 0 \text{ при } 0 < t < T,$$

$$s_1 \alpha_0 + s_2 \beta_0 > 0, \quad \alpha_0 > -\frac{s_1 \delta_1}{\omega_1^2}.$$

Заметим, что в силу линейности минимизация функционала \tilde{J} означает минимизацию функционала J .

Применив к сформулированной задаче (5) принцип максимума Понтрягина [5], получим, что наилучшее возмущение имеет вид $v^0(t) = \delta_1 \cdot \text{sign}(s_2 \psi_4(t) + s_1 \psi_3(t))$,

где ψ_4, ψ_3 - сопряженные к $x_4 = \dot{x}_2$, $x_3 = \dot{x}_1$ переменные, являющиеся решением системы:

$$\begin{cases} \ddot{\psi}_4 + \omega_2^2 \psi_4 - 2\rho_2 \dot{\psi}_4 = 0 \\ \ddot{\psi}_3 + \omega_1^2 \psi_3 - 2\rho_1 \dot{\psi}_3 = 0 \end{cases} \quad (6)$$

со следующими граничными условиями:

$$\psi_4(T) = \lambda_2, \psi_3(T) = \lambda_1, \dot{\psi}_4(T) = s_2 + 2\rho_2 \lambda_2, \dot{\psi}_3(T) = s_1 + 2\rho_1 \lambda_1, \quad (7)$$

где λ_1, λ_2 - множители Лагранжа, связанные условием стационарности:

$$0 = -\omega_2^2 \lambda_2 x_2(T) - \omega_1^2 \lambda_1 x_1(T) + |\lambda_2 s_2 + \lambda_1 s_1| \delta_1.$$

Среди всех возможных значений λ_1, λ_2 рассмотрим простой случай:

$$\lambda_1 = 0, \lambda_2 = 0.$$

Введя функцию P в обратном времени $\tau = T - t$: $P(\tau) = s_2 \psi_4(\tau) + s_1 \psi_3(\tau)$,

можно показать, что наихудшее возмущение равняется $v^0(\tau) = \delta_1 \cdot \text{sign}(P(\tau)) = -\delta_1$ при $0 < \tau < \tau_1$.

Выписав в явном виде решение краевой задачи (6–7), получим, что первый момент времени $\tau_1 > 0$, в котором $P(\tau_1) = 0$, есть $\tau_1 = \pi/\omega_{11}$, который соответствует $T = \pi/\omega_{11}$. Далее выписав решение прямой системы при $0 \leq t \leq \pi/\omega_{11}$, можно убедиться, что $v^0(t) = \delta_1 \cdot \text{sign}(P(t)) = \delta_1 \cdot \text{sign}(\dot{x}_1(t))$,

Таким образом, $v^0 = \delta_1 \cdot \text{sign}(\dot{x}_1)$ может являться решением поставленной задачи о максимальном отклонении (5). Для того, чтобы точно решить задачу о максимальном отклонении, нужно перебрать все возможные пары λ_1, λ_2 множителей Лагранжа, что весьма сложно.

4. Теперь рассмотрим поведение системы (4) при действии найденного возмущения v^0 . При рассматриваемом возмущении система является полусвязанной:

$$\begin{cases} \ddot{x}_2 + \omega_2^2 x_2 + 2\rho_2 \dot{x}_2 = s_2 \delta_1 \cdot \text{sign}(\dot{x}_1) \\ \ddot{x}_1 + \omega_1^2 x_1 + 2\rho_1 \dot{x}_1 = s_1 \delta_1 \cdot \text{sign}(\dot{x}_1) \end{cases} \quad (8)$$

Система (8) легко интегрируется на интервалах знакопостоянства \dot{x}_1 . Последовательно решая дифференциальные уравнения и согласуя значения координат и скоростей на границах интервалов, можно получить функцию последования на секущей двумерной полуплоскости $M = \{\dot{x}_1 = 0, \dot{x}_2 = 0, x_1 > 0\}$:

$$\alpha_1 = \alpha_0 \cdot k_{11}^2 + \frac{s_1 \delta_1}{\omega_1^2} (k_{11} + 1)^2, \text{ где } k_{11} = \exp\left(-\rho_1 \frac{\pi}{\omega_1}\right) \text{ - для координаты } x_1;$$

$$\beta_1 = \beta_0 \cdot k_{12}^2 + \frac{s_2 \delta_1}{\omega_2^2} (k_{12} + (-1)^{k+1})^2, \text{ где } k_{12} = \exp\left(-\rho_2 \frac{\pi}{\omega_1}\right) \text{ - для координаты } x_2.$$

Здесь (α_0, β_0) - начальные условия, взятые на секущей поверхности M , а (α_1, β_1) - первая точка пересечения секущей полуплоскости фазовой траекторией при $t > 0$.

Так как $|k_{11}| < 1$, $|k_{12}| < 1$, то полученное точечное отображение $(\alpha_0, \beta_0) \mapsto (\alpha_1, \beta_1)$ является сжимающим, а значит, у него существует единственная неподвижная точка (α_*, β_*) :

$$\alpha_* = \frac{s_1 \delta_1}{\omega_1^2} \cdot \frac{(1 + k_{11})}{(1 - k_{11})}, \quad (9)$$

$$\beta_* = \begin{cases} \frac{s_2 \delta_1 (1+k_{12})}{\omega_2^2 (1-k_{12})}, & k - \text{нечетное,} \\ \frac{s_2 \delta_1 (1-k_{12})}{\omega_2^2 (1+k_{12})}, & k - \text{четное} \end{cases} \quad (10)$$

Таким образом, в четырехмерном фазовом пространстве имеется замкнутая траектория, являющаяся предельным циклом, который асимптотически орбитально устойчив [6].

Параметрические уравнения предельного цикла в четырехмерном пространстве имеют вид:

$$\left\{ \begin{array}{l} x_1(t) = \pm \left[\left(\alpha_* + \frac{s_1 \delta_1}{\omega_1^2} \right) \cdot e^{-\rho_1 t} \cdot \left(\cos(\omega_{11} t) + \frac{\rho_1}{\omega_{11}} \sin(\omega_{11} t) \right) - \frac{s_1 \delta_1}{\omega_1^2} \right] \\ \dot{x}_1(t) = \pm \left[- \left(\alpha_* + \frac{s_1 \delta_1}{\omega_1^2} \right) \cdot e^{-\rho_1 t} \frac{\omega_1^2}{\omega_{11}} \cdot \sin(\omega_{11} t) \right] \\ x_2(t) = \pm \left[\left(\beta_* + \frac{s_2 \delta_1}{\omega_2^2} \right) \cdot e^{-\rho_2 t} \cdot \left(\cos(\omega_{22} t) + \frac{\rho_2}{\omega_{22}} \sin(\omega_{22} t) \right) - \frac{s_2 \delta_1}{\omega_2^2} \right] \\ \dot{x}_2(t) = \pm \left[- \left(\beta_* + \frac{s_2 \delta_1}{\omega_2^2} \right) \cdot e^{-\rho_2 t} \frac{\omega_2^2}{\omega_{22}} \cdot \sin(\omega_{22} t) \right] \end{array} \right. , \text{ где } 0 \leq t \leq \frac{\pi}{\omega_{11}}$$

Как видно, проекция предельного цикла на плоскость x_1, x_2 является симметричной относительно точки $(x_1 = 0, x_2 = 0)$, а проекция предельного цикла на плоскость x_3, x_4 является симметричной относительно точки $(x_3 = 0, x_4 = 0)$.

Достижимая прямая l^0 , лежащая на двумерной секущей поверхности M , проходит через начало координат и имеет вид $\{x_2 = Kx_1, x_3 = 0, x_4 = 0\}$, где

коэффициент наклона $K = \frac{\beta_*}{\alpha_*}$. Начав свое движение с l^0 , система снова возвращается на нее за конечное время T .

Заметим, что предельный цикл имеет место в системе четвертого порядка (8) даже, если ограничения $|s_1/s_2| > 1, \rho_2 > \rho_1$ не выполняются.

5. Ниже приведены результаты численного моделирования. В качестве значений параметров системы были взяты следующие значения:

$$\begin{aligned} m_1 &= 0.35 \text{ кг}, \quad m_2 = 0.15 \text{ кг}, \quad m_m^1 = 0.3 \text{ кг}, \quad m_{pl} = 0.1 \text{ кг}, \\ l_1 &= 0.4 \text{ м}, \quad l_2 = 0.3 \text{ м}, \\ R &= 2.5 \text{ Ом}, \quad C = 0.52 \text{ Н} \cdot \text{м/А}, \quad c_m = 0.052 \text{ Н} \cdot \text{м/А}, \\ \delta_1 &= 0.005 \text{ м/с}^2 \end{aligned}$$

Выбор коэффициентов обратной связи управляющих сигналов моторов, равными $K_{11} = -250.72 \text{ В}$, $K_{22} = -102.34 \text{ В}$, позволяет получить в системе собственные частоты: $\omega_1 = 0.47 \text{ Гц}$, $\omega_2 = 6 * 0.47 = 2.82 \text{ Гц}$.

Графики изменения «нормальных» координат x_1 и x_2 от времени приведены на Рис.2, Рис.3. На Рис.4 представлена проекция предельного цикла на плоскость $\{x_1, x_2\}$. На Рис.5 показано поведение исходных координат φ_1, φ_2 от времени.

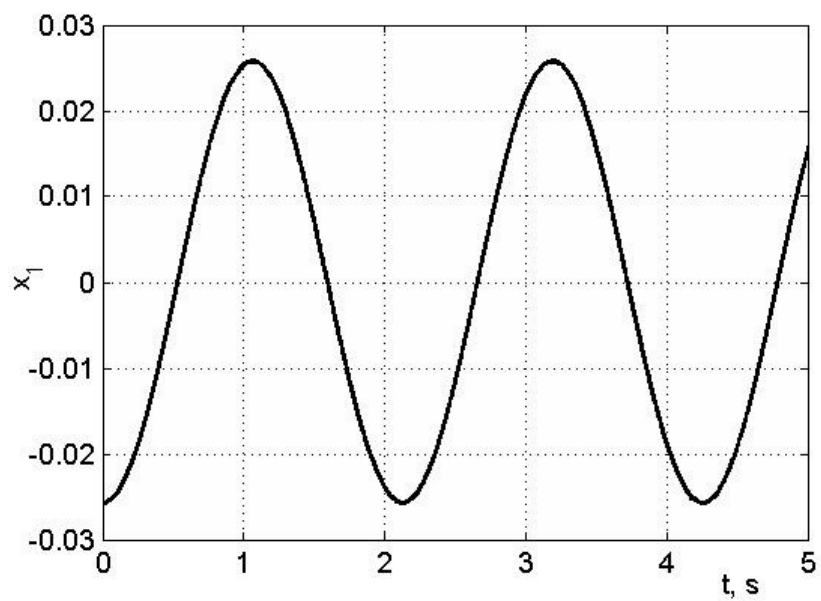


Рис.2. График изменения координаты x_1 от времени.

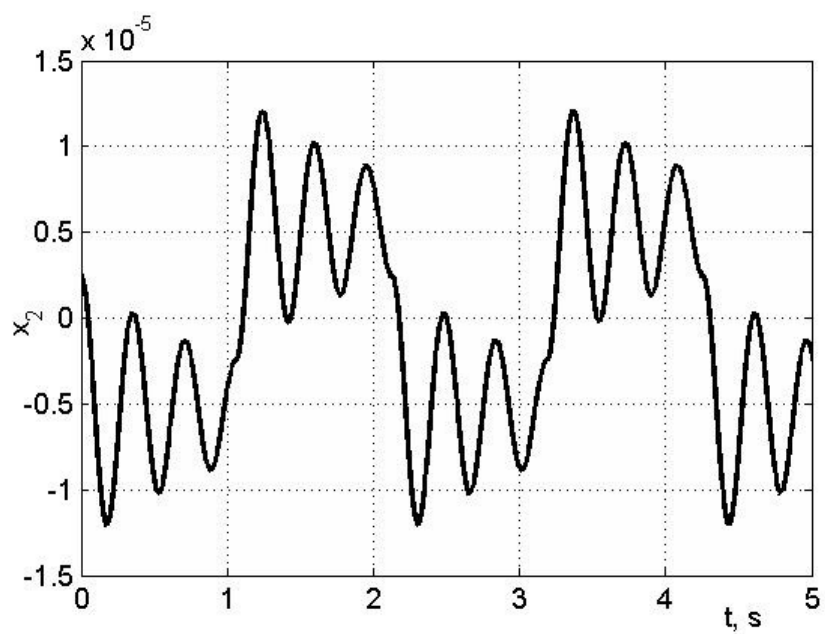


Рис.3 График изменения координаты x_2 от времени.

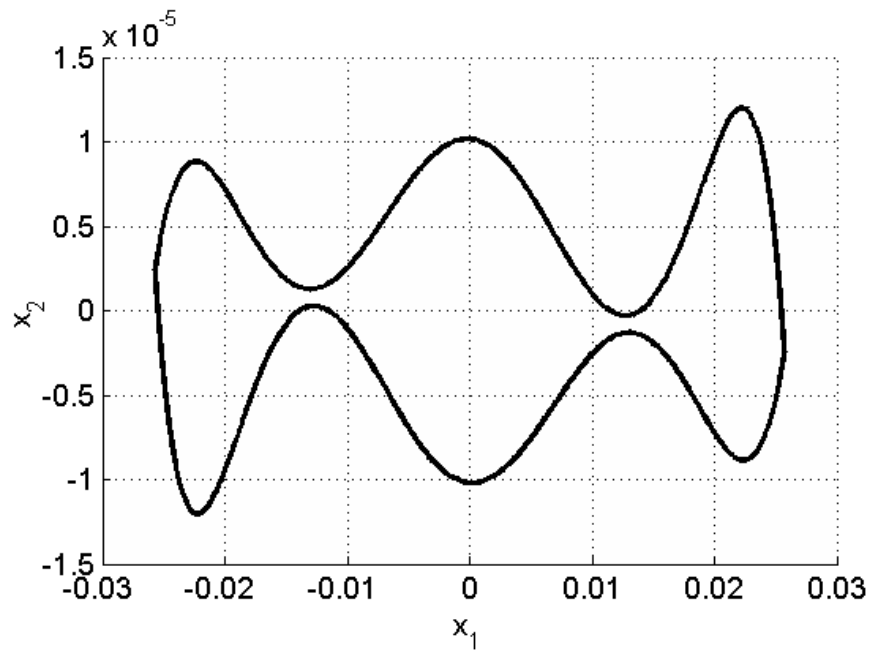


Рис.4. Проекция предельного цикла на плоскость $\{x_1, x_2\}$.

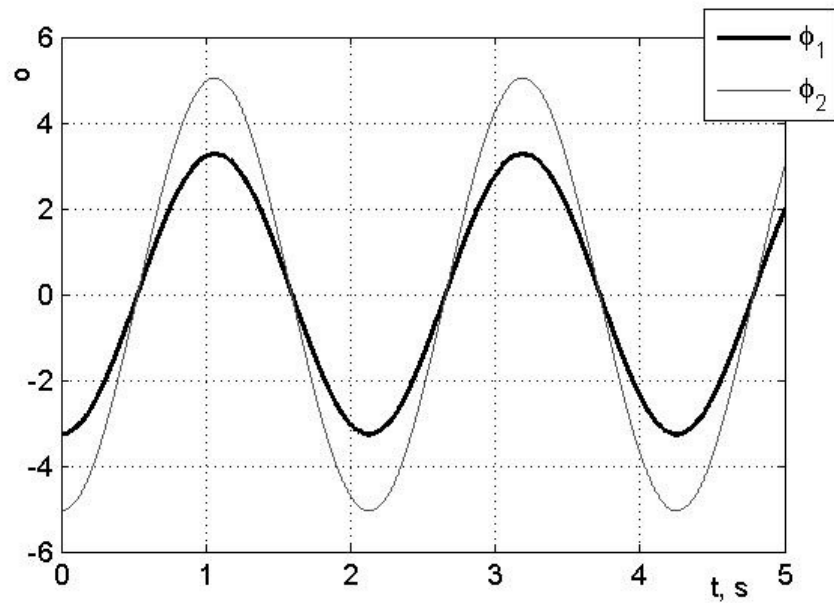


Рис.5. График изменения координат φ_1, φ_2 (в градусах).

5. Заключение.

В статье показана потенциальная возможность организации автоколебаний двухзвенного маятника с использованием информации об угловой скорости. При

этом в системе четвертого порядка с использованием функции последования построен предельный цикл, который является асимптотически орбитально устойчивым. Полученный результат является весьма интересным, так как конкретных примеров построения предельных циклов в системах размерности больше два в литературе встречается мало [2].

Полученные в системе четвертого порядка автоколебания могут являться максимальными, то есть полученный предельный цикл может представлять собой границы множества достижимости для центра масс системы. Заметим, что использование принципа максимума в аналогичных задачах при ограниченных внешних возмущениях часто дает в качестве наилучшего возмущения кусочно-постоянную функцию от координат и позволяет построить в системе предельный цикл, как например, в классической задаче Булгакова для колебательной системы второго порядка [7].

Работы выполнены при поддержке гранта РФФИ 12-01-31285.

Библиографический список

1. Александров В.В., Рейес-Ромеро М., Сидоренко Г.Ю., Темолтзи-Ауила Р. Устойчивость управляемого перевернутого маятника при постоянно действующих горизонтальных возмущениях точки опоры// МТТ, №2, 2010, с. 41-48.
2. Сидоренко Г.Ю., Александров В.В. Робастная устойчивость управляемых систем// Труды X международной Четаевской конференции "Аналитическая механика, устойчивость и управление". Том 2, 2012. с. 42-52.

3. Садовничий В.А., Александров В.В., Александрова Т.Б., Бугров Д.И., Сидоренко Г.Ю., Сото Э., Шуленина Н.Э., Вега Р., Санчез Г., Рейес Ромеро М. Патент РФ №2379007. Мобильный имитатор вертикальной позы для разработки и тестирования вестибулярных протезов. Дата публикации 20.01.2010.
4. Садовничий В.А., Александров В.В., Александрова Т.Б., Вега Р., Сидоренко Г.Ю., Сото Э., Шуленина Н.Э. Динамическая имитация стабилизации и потери вертикальной позы и тестирование прототипов вестибулярного протеза// Современные проблемы математики и механики. Т.1, прикладные исследования, вып. 1., 2009. с. 154-164.
5. Александров В.В., Болтянский В.Г., Лемак С.С., Парусников Н.А., Тихомиров В.М. Оптимизация динамики управляемых систем// М.: Изд-во МГУ, 2000, 304 с.
6. Неймарк Ю.И. Метод точечных отображений в теории нелинейных колебаний// М: Наука, 1972, 472 с.
7. Жермоленко В.Н. К задаче Б.В.Булгакова о максимальном отклонении колебательной системы второго порядка// Вестн. Моск. ун-та., сер.1, математика, механика, № 2, 1980, с. 87-91.